

УДК 546.42'654'631'682

Ю.О. Тітов ^а, Н.М. Білявина ^а, М.С. Слободяник ^а, В.В. Чумак ^б, О.І. Наконечна ^а**ОСОБЛИВОСТІ БУДОВИ ДВОШАРОВОЇ СТРУКТУРИ $\text{SrLa}_2\text{Sc}_{2-x}\text{In}_x\text{O}_7$** ^а Кіївський національний університет імені Тараса Шевченка, м. Київ, Україна^б Житомирський державний університет імені Івана Франка, м. Житомир, Україна

Методами рентгенівської порошкової дифрактометрії визначені умови ізовалентного заміщення атомів скандію на атоми індію в В-позиції двошарової первовські-топодібної структурі $\text{SrLa}_2\text{Sc}_2\text{O}_7$, за типом $\text{SrLa}_2\text{Sc}_{2-x}\text{In}_x\text{O}_7$: $0 \leq x \leq 0,4$. При подальшому зростанні вмісту атомів індію в фазах $\text{SrLa}_2\text{Sc}_{2-x}\text{In}_x\text{O}_7$ починається руйнування двошарової структури з утворенням іншої фази зі структурою ромбічного LaInO_3 , яка при $x=0,8-2,0$ є домінуючою. Методом Рітвельда визначена ромбічна (просторова група $\text{Fmm}\bar{m}$) кристалічна структура фаз складу $\text{SrLa}_2\text{Sc}_{2-x}\text{In}_x\text{O}_7$ зі ступенями заміщення атомів скандію, рівними 0,2 та 0,4. Кристалічна структура $\text{SrLa}_2\text{Sc}_{2-x}\text{In}_x\text{O}_7$ утворена двовимірними (нескінченними в площині XY) первовськітоподібними блоками, що складаються з двох шарів деформованих октаедрів $(\text{Sc},\text{In})\text{O}_6$. Октаедри $(\text{Sc},\text{In})\text{O}_6$ зв'язані між собою тільки вершинами, і кожний октаедр $(\text{Sc},\text{In})\text{O}_6$ має п'ять спільних вершин з сусідніми октаедрами одного і того ж блоку. Безпосередній зв'язок між октаедрами $(\text{Sc},\text{In})\text{O}_6$ сусідніх первовськітоподібних блоків в шаруватій структурі $\text{SrLa}_2\text{Sc}_{2-x}\text{In}_x\text{O}_7$ відсутній. Суміжні блоки відокремлені шаром поліедрів $(\text{Sr},\text{La})_2\text{O}_9$, і утримуються разом за допомогою зв'язків $-\text{O}-(\text{Sr},\text{La})_2-\text{O}-$. З дев'яти атомів кисню поліедру $(\text{Sr},\text{La})_2\text{O}_9$, вісім належать до того ж блоку, що і атоми $(\text{Sr},\text{La})_2$, а один атом кисню належить до сусіднього блоку. Координатне число внутрішньоблокових атомів $(\text{Sr},\text{La})_1$ дорівнює 12, а їх координатний поліедр являє собою деформований кубооктаедр. Розподіл атомів стронцію та лантану по позиціям структури $\text{SrLa}_2\text{Sc}_{2-x}\text{In}_x\text{O}_7$ має частково упорядкований характер із переважною локалізацією атомів стронцію у внутрішньоблокових кубооктаедричних пустотах первовськітоподібного блоку. Аналіз структурних параметрів фаз $\text{SrLa}_2\text{Sc}_{2-x}\text{In}_x\text{O}_7$ показав, що при ізовалентному заміщенні атомів скандію на більші атоми індію в шаруватій структурі фаз $\text{SrLa}_2\text{Sc}_{2-x}\text{In}_x\text{O}_7$ відбувається поступове зменшення довжини міжблокових зв'язків $(\text{Sr},\text{La})_2-\text{O}_2$ (від 0,222(2) нм ($x=0$) до 0,213(1) нм ($x=0,4$)) та зростання ступеня деформації міжблокових поліедрів $(\text{Sr},\text{La})_2\text{O}_9$ (від $68 \cdot 10^{-4}$ ($x=0$) до $95 \cdot 10^{-4}$ ($x=0,4$)). Зменшення відстані між первовськітоподібними блоками наближає будову двовимірної шаруватої структури до будови тривимірного первовськіту, а збільшення ступеня деформації міжблокових поліедрів $(\text{Sr},\text{La})_2\text{O}_9$ приводить до зростання напруженості в міжблоковому просторі. Такі зміни призводять до дестабілізації та руйнації шаруватої первовськітоподібної структури фаз $\text{SrLa}_2\text{Sc}_{2-x}\text{In}_x\text{O}_7$, обмежують інтервал твердих розчинів та обумовлюють відсутність індуку $\text{SrLa}_2\text{In}_2\text{O}_7$.

Ключові слова: сполуки типу $\text{A}_{n+1}\text{B}_n\text{O}_{3n+1}$, шарувата первовськітоподібна структура, рентгенівська порошкова дифрактометрія, ізоморфізм, тверді розчини.

DOI: 10.32434/0321-4095-2020-129-2-118-124

Вступ

Багаточисленні представники сімейств сполук $\text{A}_{n+1}\text{B}_n\text{O}_{3n+1}$ з шаруватою первовськітоподібною структурою (ШПС) володіють надзвичай-

но широким спектром фізико-хімічних властивостей, який включає, зокрема, надпровідність, колосальний магнітоопір, діелектричні та резистивні властивості, іонну провідність, люмінес-

центні властивості, фотокatalітичну активність, іонообмінні властивості та низка інших [1–6].

Ефективним засобом впливу на кристалічну будову та структурно залежні властивості оксидних сполук є ізоморфні заміщення атомів в їх структурі. На відміну від сполук і фаз типу $A_{n+1}B_nO_{3n+1}$ з одношаровою ШПС ($Sr_{0.7}Ca_{0.3}LaScO_4$ [7], $Sr_{1-x}Ca_xLaInO_4$ [8], $SrLa_{1-x}Ln^I_xInO_4$ ($Ln^I=Nd, Sm$) [9,10], $SrNdSc_{1-x}In_xO_4$ [11]), для двошарових сполук цього сімейства взаємозв'язки склад—будова встановлені лише у випадку ізовалентного заміщення атомів А-позиції ШПС в фазах $SrLa_{2-x}Dy_xSc_2O_7$ [12] та $Ba_{1-x}Sr_xLa_2In_2O_7$ [13]. Оскільки основою ШПС є оксигенооктаедричний каркас атомів типу В, безумовний інтерес становить визначення характеру впливу заміщення атомів типу В на будову двошарової ШПС сполук типу $A_{n+1}B_nO_{3n+1}$.

Мета даної роботи — визначення будови двошарової кристалічної структури фаз $SrLa_2Sc_{2-x}In_xO_7$ та встановлення взаємозв'язків склад—особливості будови їх ШПС.

Методика експерименту

Синтез скандатоіндатів $SrLa_2Sc_{2-x}In_xO_7$ проводився шляхом сумісної кристалізації (випарування при інтенсивному перемішуванні) суміші водних розчинів нітратів Sr, La, Sc та In зі співвідношенням $Sr:La:Sc:In=1:2:(2-x):x$, з наступним термообробленням одержаного продукту на газовому пальнику для видалення основної маси оксидів азоту. Одержану таким способом шихту перетирали, пресували у вигляді дисків і піддавали послідовному (з перетиранням та перепресуванням зразків після кожної стадії термооброблення) прожарюванню при 1570 К до досягнення незмінного фазового складу. Як вихідні у роботі використано нітрати Sr, La, Sc та In марок «х.ч.».

Рентгенівські дифракційні спектри полікристалічних зразків записано на дифрактометрі Shimadzu XRD-6000 в дискретному режимі (крок сканування $0,02^\circ$, експозиція в точці 7 с, інтервал кутів $20=20-75^\circ$ на мідному фільтрованому (дуговий графітовий монохроматор перед лічильником) CuK_α випромінюванні). Кристалічна структура одержаних зразків визначена методом Рітвельда. Первинне оброблення дифракційних спектрів та структурні розрахунки виконано з використанням апаратно-програмного комплексу, як описано в [14].

Результати та їх обговорення

Результати рентгенофазового аналізу кристалічних продуктів термооброблення спільно-закристалізованих нітратів Sr, La, Sc та In показали, що розмір ділянок фаз $SrLa_2Sc_{2-x}In_xO_7$ з ШПС становить $0 \leq x \leq 0,4$. При $x \geq 0,5$ зразки валового складу $SrLa_2Sc_{2-x}In_xO_7$ не однофазні, причому в інтервалі значень $x=0,8-2,0$ домінує фаза на основі ромбічного $LaInO_3$.

Дифрактограми $SrLa_2Sc_{2-x}In_xO_7$ з ШПС подібні дифрактограмам двошарових $SrLn_2Sc_2O_7$ з ШПС ($Ln=La-Tb$) [15], а їх індексування показало належність ШПС $SrLa_2Sc_{2-x}In_xO_7$ до ромбічної сингонії. Систематика погасань відбиттів на дифрактограмах (присутні відбиття з hkl $h+k=2n$, $h+l=2n$, $k+l=2n$, $0kl$ з $k+l=2n$, $h0l$ з $h+l=2n$, $hk0$ з $h+k=2n$, $h00$, $0k0$, $00l$ з $h,k,l=2n$) відповідає центросиметричній просторовій групі Fmmm та нецентрросиметричним Fmm2 і F222. Результати тесту на генерацію сигналу другої оптичної гармоніки лазерного випромінювання показали, що інтенсивність сигналів I_{2w} для фаз $SrLa_2Sc_{2-x}In_xO_7$ має той же порядок, що і для центросиметричного $SrLa_2Sc_2O_7$. Це дає підставу для однозначного висновку про належність кристалічної структури фаз $SrLa_2Sc_{2-x}In_xO_7$ до центросиметричної просторової групи симетрії Fmmm. Лінійний характер залежності $V=f(x)$ для фаз $SrLa_2Sc_{2-x}In_xO_7$ з ШПС (рис. 1) вказує, що за своєю природою вони належать до обмеженого ряду твердих розчинів.

Виходячи з встановлених меж ділянок існування фаз з ШПС в системі $SrLa_2Sc_{2-x}In_xO_7$, для встановлення впливу ізовалентного заміщення атомів скандію на будову ШПС нами було проведено визначення ШПС фаз $SrLa_2Sc_{1.8}In_{0.2}O_7$ та $SrLa_2Sc_{1.6}In_{0.4}O_7$ зі ступенями заміщення атомів скандію (x), рівними 0,2 та 0,4.

Початкове оцінювання координат атомів для вихідних моделей структури $SrLa_2Sc_{2-x}In_xO_7$ проведено за відомими структурними даними для незаміщеного $SrLa_2Sc_2O_7$ (пр. гр. Fmmm) [15]. Співставлення експериментальних і розрахованых для таких моделей структури інтенсивностей показало їх задовільну збіжність. Результати уточнення моделей наведено у табл. 1, 2 та на рис. 2–4. Визначений при розрахунку струк-

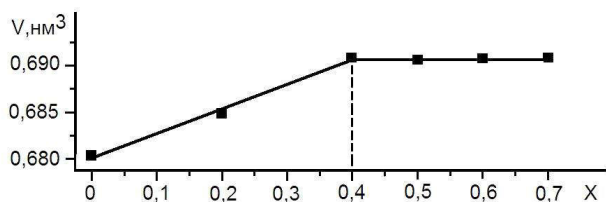


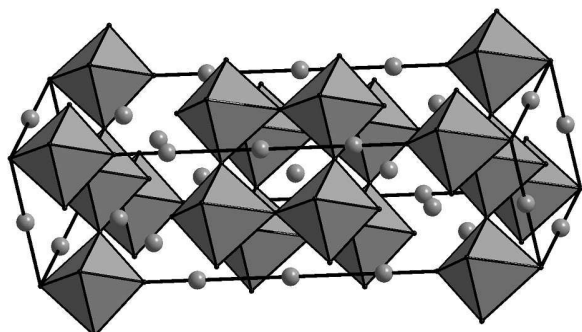
Рис. 1. Залежність об'єму елементарної комірки фаз складу $SrLa_2Sc_{2-x}In_xO_7$ з ШПС від ступеня заміщення атомів скандію (значення x)

Таблиця 1

Структурні дані $\text{SrLa}_2\text{Sc}_{2-x}\text{In}_x\text{O}_7$ ($x=0, 0,2, 0,4$)

Позиція	Атом	$\text{SrLa}_2\text{Sc}_2\text{O}_7$ [15]			$\text{SrLa}_2\text{Sc}_{1,8}\text{In}_{0,2}\text{O}_7$			$\text{SrLa}_2\text{Sc}_{1,6}\text{In}_{0,4}\text{O}_7$					
		Заповнення	X	Y	Z	Заповнення	X	Y	Z	Заповнення	X	Y	Z
4b	Sr1	0,59(2)	0	0	0,5	0,60(2)	0	0	0,5	0,60(2)	0	0	0,5
4b	La1	0,41(2)	0	0	0,5	0,40(2)	0	0	0,5	0,40(2)	0	0	0,5
8i	Sr2	0,21(2)	0	0	0,3141(3)	0,20(2)	0	0	0,3135(4)	0,20(2)	0	0	0,3126(3)
8i	La2	0,79(2)	0	0	0,3141(3)	0,80(2)	0	0	0,3135(4)	0,80(2)	0	0	0,3126(3)
8i	Sc	1	0	0	0,1002(3)	0,90(2)	0	0	0,0985(2)	0,80(2)	0	0	0,0984(3)
8i	In	-	-	-	-	0,10(2)	0	0	0,0985(2)	0,20(2)			0,0984(3)
4a	O1	1	0	0	0	1	0	0	0	1	0	0	0
8i	O2	1	0	0	0,206(2)	1	0	0	0,207(3)	1	0	0	0,209(2)
16j	O3	1	0,25	0,25	0,107(2)	1	0,25	0,25	0,113(2)	1	0,25	0,25	0,113(2)
Просторова група		Fmmm (no 69)				Fmmm (no 69)				Fmmm (no 69)			
Періоди кристалічної решітки, нм		a=0,5774(2) b=0,5737(2) c=2,0537(7)				a=0,5779(3) b=0,5756(2) c=2,0588(9)				a=0,5799(2) b=0,5781(2) c=2,0607(8)			
Незалежні відбиття		63				62				62			
Загальний ізотропний В фактор, нм ²		0,7(1)·10 ⁻²				2,48(5)·10 ⁻²				2,86(4)·10 ⁻²			
Фактор недостовірності		R _w =0,061				R _w =0,054				R _w =0,052			

а



б

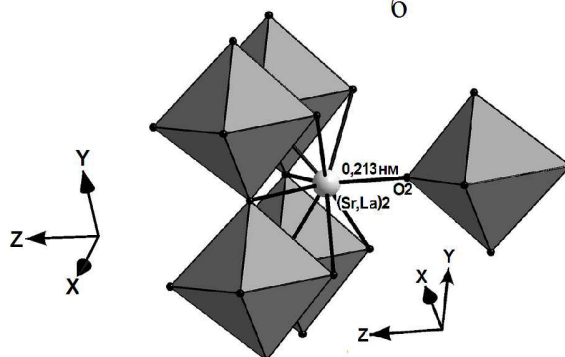


Рис. 2. Кристалічна структура $\text{SrLa}_2\text{Sc}_{1,8}\text{In}_{0,2}\text{O}_7$ у вигляді октаедрів $(\text{Sc},\text{In})\text{O}_6$ та атомів Sr i La (кружечки) (а) та будова міжблокової границі в ШПС $\text{SrLa}_2\text{Sc}_{1,6}\text{In}_{0,4}\text{O}_7$ у вигляді октаедрів $(\text{Sc},\text{In})\text{O}_6$ та атомів $(\text{Sr},\text{La})_2$ (сірий кружечок) (б)

тури склад фаз в межах похибки визначення відповідає експериментально заданому.

ШПС фаз $\text{SrLa}_2\text{Sc}_{2-x}\text{In}_x\text{O}_7$ побудована двовимірними (нескінченними в площині XY), зсунутими один відносно іншого первовськітоподібними блоками (рис. 2,а), кожен з яких складається з двох шарів деформованих октаедрів $(\text{Sc},\text{In})\text{O}_6$ (довжини відстаней $(\text{Sc},\text{In})-\text{O}$ знаходяться в межах від 0,203(1) до 0,228(2) нм) (табл. 2). Октаедри $(\text{Sc},\text{In})\text{O}_6$ зв'язані між собою тільки вершинами і кожний октаедр $(\text{Sc},\text{In})\text{O}_6$ має п'ять спільних вершин з сусідніми октаедрами одного і того ж блоку.

Безпосередній зв'язок між октаедрами $(\text{Sc},\text{In})\text{O}_6$ сусідніх первовськітоподібних блоків в ШПС $\text{SrLa}_2\text{Sc}_{2-x}\text{In}_x\text{O}_7$ відсутній. Блоки розділені шаром поліедрів $(\text{Sr},\text{La})_2\text{O}_9$, і утримуються разом за допомогою зв'язків $-\text{O}-(\text{Sr},\text{La})_2-\text{O}-$. З дев'яти атомів кисню поліедру $(\text{Sr},\text{La})_2\text{O}_9$ вісім (четири O(2) та четири O(3)) належать до того ж блоку, що і атоми $(\text{Sr},\text{La})_2$, а один атом кисню (O(2)) належить до сусіднього блоку (рис. 2,б), причому довжина цього міжблокового зв'язку (табл. 2) наближається до мінімально відомих відстаней La–O. Координатне число внутрішньоблокових атомів (Sr,La)1 дорівнює 12,

Таблиця 2
Міжатомні відстані (нм), та ступені деформації (Δ) полієдрів ($(Sr,La)O_6$, ($(Sr,La)O_9$ і ($(Sc,In)O_6$ в кристалічних структурах $SrLa_2Sc_{2-x}In_xO_7$ ($x=0, 0,2, 0,4$)

Відстані	$SrLa_2Sc_2O_7$ [15]		$SrLa_2Sc_{1,8}In_{0,2}O_7$		$SrLa_2Sc_{1,6}In_{0,4}O_7$		Відстані d, нм	$SrLa_2Sc_2O_7$ [15] d, нм	$SrLa_2Sc_{1,8}In_{0,2}O_7$ d, нм	$SrLa_2Sc_{1,6}In_{0,4}O_7$ d, нм
	d, нм	d, нм	d, нм	d, нм	d, нм	d, нм				
$(Sr,La)1-2O1$	0,287(3)	0,288(2)	0,289(2)	0,289(2)	(Sc,In)-4O3	0,204(1)	0,206(2)	0,207(1)		
-2O1	0,289(3)	0,289(2)	0,290(2)	-O1		0,206(2)	0,203(1)	0,203(2)		
-8O3	0,299(2)	0,310(3)	0,310(2)	-O2		0,217(3)	0,223(2)	0,228(2)		
Середня відстань $(Sr,La)1-O$	0,295	0,303	0,303	Середня відстань (Sc,In)-O		0,207	0,208	0,210		
$\Delta(Sr,La)1O_{12}$	$3 \cdot 10^{-4}$	$11 \cdot 10^{-4}$	$10 \cdot 10^{-4}$	$\Delta(Sc,In)O_6$		$5 \cdot 10^{-4}$	$10 \cdot 10^{-4}$	$15 \cdot 10^{-4}$		
$(Sr,La)2-1O2$	$0,222(2)^*$	$0,219(1)^*$	$0,213(1)^*$							
-4O3	$0,260(2)$	$0,254(2)$	$0,256(1)$							
-2O2	$0,290(1)$	$0,291(2)$	$0,293(1)$							
-2O2	$0,292(1)$	$0,292(2)$	$0,293(2)$							
Середня відстань $(Sr,La)2-O$	0,270	0,267	0,268							
$\Delta(Sr,La)2O_9$	$68 \cdot 10^{-4}$	$84 \cdot 10^{-4}$	$95 \cdot 10^{-4}$							

Примітки: розрахунок ступеня деформації полієдрів MeO_n виконано за формулою: $\Delta = 1/n \sum [(R_i - \bar{R}) / \bar{R}]^2$ (R_i – відстані $Me-O$, \bar{R} – середня відстань $Me-O$, n – координатнійне число); * – міжблокова відстань.

а їх координаційний полієдр являє собою деформований кубооктаедр.

У ШПС $SrLa_2Sc_{2-x}In_xO_7$ розподіл атомів стронцію та РЗЕ аналогічний такому в ШПС незаміщеного $SrLa_2Sc_2O_7$ і має частково упорядкований характер із переважною локалізацією атомів стронцію у внутрішньоблокових кубооктаедрических пустотах перовськітоподібного блоку (табл. 1).

Аналіз одержаних в даній роботі даних про структуру фаз $SrLa_2Sc_{2-x}In_xO_7$ ($x=0,2$ і $0,4$) та скандату $SrLa_2Sc_2O_7$ [15] показав, що поступове входження у В-позицію їх ШПС великих атомів індію призводить до послідовних змін в будові ШПС, основними з яких є наступні:

- зменшення довжини міжблокових зв'язків $(Sr,La)2-O2$ (від $0,222(2)$ нм ($x=0$) до $0,213(1)$ нм ($x=0,4$) із одночасним зростанням відстані $(Sc,In)-O2$ в октаедрах $(Sc,In)O_6$ (від $0,217(3)$ нм ($x=0$) до $0,228(2)$ нм ($x=0,4$)) (рис. 3);

- зростання ступеня деформації міжблокових полієдрів $(Sr,La)O_9$ (від $68 \cdot 10^{-4}$ ($x=0$) до $95 \cdot 10^{-4}$ ($x=0,4$)) (рис. 4);

- збільшення середньої відстані $(Sc,In)-O$ (з $0,207$ нм ($x=0$) до $0,210$ нм ($x=0,4$)) (рис. 3);

- зростання ступеня деформації октаедрів $(Sc,In)O_6$ ((від $5 \cdot 10^{-4}$ ($x=0$) до $15 \cdot 10^{-4}$ ($x=0,4$))) (рис. 4).

Зменшення відстані між двошаровими перовськітоподібними блоками наближає будову дводвимірної ШПС до будови тривимірного, термодинамічно більш стабільного перовськіту, а збільшення ступеня деформації міжблокових полієдрів $(Sr,La)O_9$ призводить до зростання напруженості в міжблоковому просторі ШПС. Такий характер структурних змін в будові ШПС фаз $SrLa_2Sc_{2-x}In_xO_7$ при збільшенні ступеня ізовалентного заміщення атомів скандію призводить до дестабілізації ШПС і дає підстави для висновку, що ці фактори обумовлюють обмеженість ділянки твердих розчинів $SrLa_2Sc_{2-x}In_xO_7$ з ШПС та відсутність сполуки $SrLa_2In_2O_7$ з ШПС.

Збільшення в ШПС $SrLa_2Sc_{2-x}In_xO_7$ середньої відстані $(Sc,In)-O$ обумовлено дещо більшим розміром катіона In^{3+} (0,094 нм) порівняно з катіоном Sc^{3+} (0,0885 нм). Різні розміри цих катіонів є також, очевидно, причиною нарощання ступеня деформації октаедрів $(Sc,In)O_6$ в ШПС $SrLa_2Sc_{2-x}In_xO_7$ при збільшенні значення x .

Співставлення характеру змін в будові

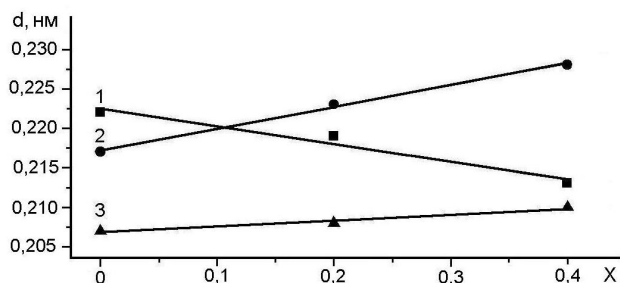


Рис. 3. Залежності довжини міжблокового зв'язку $(\text{Sr}, \text{La})_2\text{O}_2$ (1) та довжини зв'язку $(\text{Sc}, \text{In})-\text{O}_2$ (2) і середньої довжини зв'язку $(\text{Sc}, \text{In})-\text{O}$ (3) в октаедрах $(\text{Sc}, \text{In})\text{O}_6$ ШПС $\text{SrLa}_2\text{Sc}_{2-x}\text{In}_x\text{O}_7$ від ступеня заміщення атомів скандію (значення x)

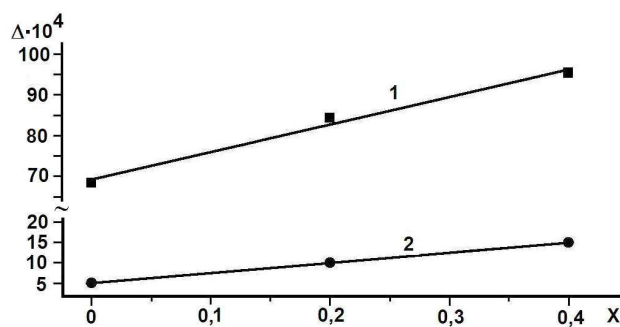


Рис. 4. Залежності ступеня деформації (Δ) поліедрів $(\text{Sr}, \text{La})_2\text{O}_9$ (1) та октаедрів $(\text{Sc}, \text{In})\text{O}_6$ (2) в ШПС $\text{SrLa}_2\text{Sc}_{2-x}\text{In}_x\text{O}_7$ від ступеня заміщення атомів скандію (значення x)

ШПС фаз на основі скандату $\text{SrLa}_2\text{ScO}_7$ при ізовалентному заміщенні атомів В-позиції (фази $\text{SrLa}_2\text{Sc}_{2-x}\text{In}_x\text{O}_7$) та атомів А-позиції (фази $\text{SrLa}_{2-x}\text{Dy}_x\text{Sc}_2\text{O}_7$ [12] показало як аналогічний характер поведінки в обох системах довжин міжблокових відстаней $(\text{Sr}, \text{Ln})_2\text{O}_2$ та ступенів деформації міжблокових поліедрів $(\text{SrLn})\text{O}_9$ при збільшенні значень x, так і однотипний (тривимірний) характер структури кінцевого продукту заміщення (фаза на основі ромбічного перовськіту LaInO_3 , або фаза на основі кубічної модифікації Dy_2O_3). Проте, слід відзначити, що для $\text{SrLa}_{2-x}\text{Dy}_x\text{Sc}_2\text{O}_7$, вищевідзначені зміни будови ШПС значно суттєвіші, оскільки вони безпосередньо зв'язані зі зміною складу і розмірів атомів в А-позиції ШПС.

Аналіз особливостей будови ШПС двошарових скандатів $\text{SrLa}_2\text{Sc}_{2-x}\text{In}_x\text{O}_7$ та одношарових скандатів $\text{SrNdSc}_{1-x}\text{In}_x\text{O}_4$ показав, що характер змін довжин міжблокових відстаней в двошарових скандатах $\text{SrLa}_2\text{Sc}_{2-x}\text{In}_x\text{O}_7$ виявився протилежним від такого при аналогічному типі заміщення в одношаровій ШПС скандату SrNdScO_4 [11]. Це, очевидно, обумовлює відмінності фазового складу зразків, які утворюються внаслідок руйнації ШПС з різним числом шарів октаедрів в первовськітоподібному блоці.

Зокрема, в ШПС $\text{SrLa}_2\text{Sc}_{2-x}\text{In}_x\text{O}_7$ зближення двошарових блоків октаедрів $(\text{Sc}, \text{In})\text{O}_6$ призводить до з'єднання вершинами октаедрів сусідніх блоків з утворенням замість двовимірних блоків з двох шарів октаедрів $(\text{Sc}, \text{In})\text{O}_6$ тривимірного каркаса первовськіту на основі ромбічного LaInO_3 . В результаті цієї трансформації міжблокові поліедри $(\text{La}, \text{Sr})\text{O}_9$ перетворюються в структурі первовськіту в кубооктаедри $(\text{La}, \text{Sr})\text{O}_{12}$, а внутрішньоблокові поліедри $(\text{La}, \text{Sr})\text{O}_{12}$ ШПС залишаються в закритих кубооктаедрических пустотах утворених чотирма з'єднаними вершинами октаедрами $(\text{Sc}, \text{In})\text{O}_6$.

У випадку одношарової ШПС $\text{SrNdSc}_{1-x}\text{In}_x\text{O}_4$ збільшення міжблокової відстані між сусідніми одношаровими блоками октаедрів $(\text{Sc}, \text{In})\text{O}_6$ зменшує міцність зв'язування сусідніх блоків. Це призводить до розриву зв'язку між блоками і перебудові відокремлених один від іншого одношарових двовимірних фрагментів ШПС в ланцюжкову структуру типу CaFe_2O_4 , склад якої відповідає формулі $\text{Sr}(\text{NdSc}_{1-x}\text{In}_x)\text{O}_4$ [11]. Вона утворена ланцюжками сполучених вершинами і ребрами октаедрів $(\text{Nd}, \text{Sc}_{1-x}\text{In}_x)\text{O}_6$ і містить відкриті канали, в яких розміщені великі атоми Sr, координаційне число яких дорівнює 8.

Висновки

Таким чином, в даній роботі встановлені умови ізовалентного заміщення атомів скандію на атоми індію в двошаровій ШПС $\text{SrLa}_2\text{Sc}_2\text{O}_7$ по типу $\text{SrLa}_2\text{Sc}_{2-x}\text{In}_x\text{O}_7$ ($0 \leq x \leq 0.4$) та визначена будова ШПС фаз $\text{SrLa}_2\text{Sc}_{1.8}\text{In}_{0.2}\text{O}_7$ і $\text{SrLa}_2\text{Sc}_{1.6}\text{In}_{0.4}\text{O}_7$. Аналіз отриманих даних дозволив виявити характер впливу ізовалентного заміщення атомів скандію на будову ШПС фаз $\text{SrLa}_2\text{Sc}_{2-x}\text{In}_x\text{O}_7$ та встановити структурні фактори, які обмежують інтервал їх існування. Знання залежностей склад-будова ШПС для ізовалентнозаміщених фаз $\text{SrLa}_2\text{Sc}_{2-x}\text{In}_x\text{O}_7$ закладає основи для подальшого регулювання параметрів їх структурно залежних функціональних властивостей.

СПИСОК ЛІТЕРАТУРИ

1. Александров К.С., Безносиков Б.В. Перовскиты. Настоящее и будущее. – Новосибирск: Изд-во СО РАН, 2004. – 231 с.
2. Schaak R.E., Mallouk T.E. Perovskites by design: a toolbox of solid-state reactions // Chem. Mater. – 2002. – Vol.14. – No. 4. – P.1455-1471.
3. Synthesis and oxide ion conductivity of new layered perovskite $\text{La}_{1-x}\text{Sr}_{1+x}\text{InO}_{4-d}$ / Kato S., Ogasawara M., Sugai M., Nakata S. // Solid State Ionics. – 2002. – Vol.149. – No. 1–2. – P.53-57.
4. Crystal structure and luminescence of layered perovskites $\text{Sr}_3\text{LnInSnO}_8$ / Titov Yu., Nedilko S.G., Chornii V., Scherbatskii V., Belyavina N., Markiv V., Polubinskii V. // Solid State Phenom. – 2015. – Vol.230. – P.67-72.
5. Kim I.S., Nakamura T., Itoh M. Humidity sensing effects of the layered oxides $\text{SrO} \cdot (\text{LaScO}_3)_n$ ($n = 1, 2, \infty$) // J. Ceram. Soc. Jap. – 1993. – Vol.101. – No. 7. – P.800-803.
6. Structural and dielectric studies on the new series of layered compounds, strontium lanthanum scandium oxides / Kim I.S., Kawaji H., Itoh M., Nakamura T. // Mater. Res. Bull. – 1992. – Vol.27. – No. 10. – P.1193-1203.
7. Effect of size factor on the Ruddlesden-Popper single-slab compounds structure features / Titov Y.A., Belyavina N.N., Slobodyanik M.S., Nakonechna O.I., Strutynska N.Y. // French-Ukr. J. Chem. – 2019. – Vol.7 – No. 1. – P.10-15.
8. Вплив складу на будову шаруватої перовськітоподібної структури іннатів $\text{A}^{\text{II}}\text{LaInO}_4$ / Тітов Ю.О., Білявина Н.М., Слободянік М.С., Бабарик А.А., Тимошенко М.В. // Доповіді НАН України. – 2017. – № 4. – С.70-75.
9. Вплив заміщення атомів лантану на будову шаруватої структури іннатів $\text{SrLa}_{1-x}\text{Nd}_x\text{InO}_4$ / Тітов Ю.О., Білявина Н.М., Слободянік М.С., Чумак В.В., Наконечна О.І. // Вопросы химии и хим. технологии. – 2019. – № 1. – С.67-72.
10. Синтез та особливості будови шаруватої структури $\text{SrLa}_{1-x}\text{Sm}_x\text{InO}_4$ / Тітов Ю.О., Білявина Н.М., Слободянік М.С., Чумак В.В., Тимошенко М.В., Томазенко Л.В. // Доповіді НАН України. – 2019. – № 1. – С.72-78.
11. Вплив складу на будову шаруватої структури $\text{SrNdSc}_{1-x}\text{In}_x\text{O}_4$ / Тітов Ю.О., Білявина Н.М., Слободянік М.С., Чумак В.В., Наконечна О.І. // Вопросы химии и хим. технологии. – 2019. – № 3. – С.53-58.
12. Синтез та кристалічна структура ізовалентнозаміщених шаруватих скандатів $\text{SrLa}_{2-x}\text{Dy}_x\text{Sc}_2\text{O}_7$ / Тітов Ю.О., Білявина Н.М., Слободянік М.С., Чумак В.В., Наконечна О.І. // Вопросы химии и хим. технологии. – 2019. – № 6. – С.228-235.
13. Кристалічна структура ізовалентнозаміщених шаруватих іннатів $\text{Ba}_{1-x}\text{Sr}_x\text{La}_2\text{In}_2\text{O}_7$ / Тітов Ю.О., Білявина Н.М., Слободянік М.С., Чумак В.В. // Доповіді НАН України. – 2016. – № 6. – С.95–102.
14. Phase transformations at mechanical milling of the equiatomic Y-Cu powder mixture / Dashevskyi M., Boshko O.,

Nakonechna O., Belyavina N. // Металлофізика і новейші технології. – 2017. – Vol.39. – No. 4. – P.541-552.

15. Синтез та кристалічна структура шаруватих скандатів $\text{SrLn}_2\text{Sc}_2\text{O}_7$ / Тітов Ю.О., Білявіна Н.М., Марків В.Я., Слободянік М.С., Краєвська Я.А., Чумак В.В. // Доповіді НАН України. – 2009. – № 3. – С.155-161.

Надійшла до редакції 13.12.2019

FEATURES OF THE $\text{SrLa}_2\text{Sc}_{2-x}\text{In}_x\text{O}_7$ TWO-SLAB STRUCTURE

Y.A. Titov ^{a,*}, N.M. Belyavina ^a, M.S. Slobodyanik ^a, V.V. Chumak ^b, O.I. Nakonechna ^a

^a Taras Shevchenko National University of Kyiv, Kyiv, Ukraine

^b Zhytomyr Ivan Franko State University, Zhytomyr, Ukraine

* e-mail: tit@univ.kiev.ua

The conditions of isovalent substitution of scandium atoms for indium atoms in B position of the $\text{SrLa}_2\text{Sc}_2\text{O}_7$ two-slab perovskite structure of the $\text{SrLa}_2\text{Sc}_{2-x}\text{In}_x\text{O}_7$ type ($0 \leq x \leq 0.4$) are determined by X-ray powder diffraction methods. A destruction of the two-slab structure and formation of the second phase with the rhomboic LaIn_3O_7 structure, which is dominant at $x=0.8-2.0$, are observed at a further increase of the indium atoms content in the $\text{SrLa}_2\text{Sc}_{2-x}\text{In}_x\text{O}_7$ phases. Orthorhombic crystal structure (Fmmm space group) of the $\text{SrLa}_2\text{Sc}_{2-x}\text{In}_x\text{O}_7$ phases with the scandium atoms substitution degrees of 0.2 and 0.4 is determined by the Rietveld procedure. The $\text{SrLa}_2\text{Sc}_{2-x}\text{In}_x\text{O}_7$ crystal structure is formed by two-dimensional (infinite in the XY plane) perovskite-like blocks, which consists of two slabs of $(\text{Sc}, \text{In})\text{O}_6$ deformed octahedra. The $(\text{Sc}, \text{In})\text{O}_6$ octahedra are connected only by vertices, and each $(\text{Sc}, \text{In})\text{O}_6$ octahedron has five common vertices with the adjacent octahedra of the same block. There is no direct connection between the $(\text{Sc}, \text{In})\text{O}_6$ octahedra of adjacent perovskite-like blocks in the $\text{SrLa}_2\text{Sc}_{2-x}\text{In}_x\text{O}_7$ slab structure. Adjacent blocks are separated by a slab of $(\text{Sr}, \text{La})_2\text{O}_9$ polyhedra and are held together by means of $-\text{O}-(\text{Sr}, \text{La})_2-\text{O}-$ bonds. The eight oxygen atoms of the $(\text{Sr}, \text{La})_2\text{O}_9$ polyhedron belong to the same block as the $(\text{Sr}, \text{La})_2$ atoms and the one oxygen atom belongs to the neighboring block. Coordination number of the $(\text{Sr}, \text{La})_2$ intrablock atoms is equal to 12, and their coordination polyhedron is a deformed cuboctahedron. The distribution of strontium and lanthanum atoms over the $\text{SrLa}_2\text{Sc}_{2-x}\text{In}_x\text{O}_7$ structure positions has a partially ordered character with the predominant localization of strontium atoms in the intrablock cuboctahedral voids of the perovskite-like block. Analysis of the structural parameters of the $\text{SrLa}_2\text{Sc}_{2-x}\text{In}_x\text{O}_7$ phases shows that a gradual decrease in the length of the $(\text{Sr}, \text{La})_2-\text{O}_2$ interblock bonds (from 0.222(2) nm ($x=0$) to 0.213(1) nm ($x=0.4$)) and an increase in the degree of deformation of the $(\text{Sr}, \text{La})_2\text{O}_9$ interblock polyhedra (from $68 \cdot 10^{-4}$ ($x=0$) to $95 \cdot 10^{-4}$ ($x=0.4$)) take place with the isovalent substitution of scandium atoms for large indium atoms in the slab structure of the $\text{SrLa}_2\text{Sc}_{2-x}\text{In}_x\text{O}_7$. Reducing the perovskite-like blocks interval makes a two-dimensional slab structure closer to the structure of a three-dimensional perovskite, and an increase in the deformation degree of the $(\text{Sr}, \text{La})_2\text{O}_9$ interblock polyhedra leads to an increase in the tension of the interblock space. These changes result in destabilization and destruction of the slab perovskite-like structure of the $\text{SrLa}_2\text{Sc}_{2-x}\text{In}_x\text{O}_7$ phases, limit the solid solutions range and cause the absence of $\text{SrLa}_2\text{In}_2\text{O}_7$ indate.

Keywords: compounds of $\text{A}_{n+1}\text{B}_n\text{O}_{3n+1}$ type; slab perovskite-like structure; X-ray powder diffraction; isomorphism; solid solutions.

REFERENCES

1. Alexandrov K.C., Beznosikov B.V., *Perovskity. Nastoyashcheye i budushcheye* [Perovskites: present and future]. SO RAN Publishers, Novosibirsk, 2004. 231 p. (in Russian).
2. Schaak R.E., Mallouk T.E. Perovskites by design: a toolbox of solid-state reactions. *Chemistry of Materials*, 2002, vol. 14, pp. 1455-1471.
3. Kato S., Ogasawara M., Sugai M., Nakata S. Synthesis and oxide ion conductivity of new layered perovskite $\text{La}_{1-x}\text{Sr}_{1+x}\text{InO}_{4-d}$. *Solid State Ionics*, 2002, vol. 149, pp. 53-57.
4. Titov Yu., Nedilko S.G., Chornii V., Scherbatskii V., Belyavina N., Markiv V., Polubinskii V. Crystal structure and luminescence of layered perovskites $\text{Sr}_3\text{LnInSnO}_8$. *Solid State Phenomena*, 2015, vol. 230, pp. 67-72.
5. Kim I.-S., Nakamura T., Itoh M. Humidity sensing effects of the layered oxides $\text{SrO}(\text{LaScO}_3)_n$ ($n = 1, 2, \infty$). *Journal of the Ceramic Society of Japan*, 1993, vol. 101, pp. 800-803.
6. Kim I.S., Kawaji H., Itoh M., Nakamura T. Structural and dielectric studies on the new series of layered compounds, strontium lanthanum scandium oxides. *Materials Research Bulletin*, 1992, vol. 27, pp. 1193-1203.
7. Titov Y.A., Belyavina N.N., Slobodyanik M.S., Nakonechna O.I., Strutynska N.Y. Effect of size factor on the Ruddlesden-Popper single-slab compounds structure features. *French-Ukrainian Journal of Chemistry*, 2019, vol. 7, no. 1, pp. 10-15.
8. Titov Y.O., Belyavina N.M., Slobodyanik M.S., Babaryk A.A., Timoschenko M.V. Vplyv skladu na budovu sharuvatot perovskitopodobnoi struktury indativ $\text{A}''\text{LaInO}_4$ [Influence of composition on organization of layered perovskite-like structure of indates $\text{A}''\text{LaInO}_4$]. *Dopovidi Natsionalnoi Akademii Nauk Ukrayny*, 2017, no. 4, pp. 70-75. (in Ukrainian).
9. Titov Y.A., Belyavina N.M., Slobodyanik M.S., Chumak V.V., Nakonechna O.I. Vplyv zamishchenn'ya atomiv lantanu na budovu sharuvatot struktury indativ $\text{SrLa}_{1-x}\text{Nd}_x\text{InO}_4$ [Effect of isovalent substitution of lanthanum atoms on the slab structure of indates $\text{SrLa}_{1-x}\text{Nd}_x\text{InO}_4$]. *Voprosy Khimii i Khimicheskoi Tekhnologii*, 2019, no. 1, pp. 67-72. (in Ukrainian).
10. Titov Y.O., Belyavina N.M., Slobodyanik M.S., Chumak V.V., Timoschenko M.V., Tomazenko L.V. Syntez ta osoblyvosti budovy sharuvatot struktury $\text{SrLa}_{1-x}\text{Sm}_x\text{InO}_4$ [Synthesis and structural features of slab structure $\text{SrLa}_{1-x}\text{Sm}_x\text{InO}_4$]. *Dopovidi Natsionalnoi Akademii Nauk Ukrayny*, 2019, no. 1, pp. 72-78. (in Ukrainian).
11. Titov Y.A., Belyavina N.M., Slobodyanik M.S., Chumak V.V., Nakonechna O.I. Vplyv skladu na budovu sharuvatot struktury $\text{SrNdSc}_{1-x}\text{In}_x\text{O}_4$ [Effect of composition on the $\text{SrNdSc}_{1-x}\text{In}_x\text{O}_4$ slab structure]. *Voprosy Khimii i Khimicheskoi Tekhnologii*, 2019, no. 3, pp. 53-58. (in Ukrainian).
12. Titov Y.A., Belyavina N.M., Slobodyanik M.S., Chumak V.V., Nakonechna O.I. Syntez ta krystalichna struktura izovalentnozamishchennykh sharuvatykh skandativ $\text{SrLa}_{2-x}\text{Dy}_x\text{Sc}_2\text{O}_7$ [Synthesis and crystal structure of isovalently substituted slab $\text{SrLa}_{2-x}\text{Dy}_x\text{Sc}_2\text{O}_7$ scandates]. *Voprosy Khimii i Khimicheskoi Tekhnologii*, 2019, no. 6, pp. 228-235. (in Ukrainian).
13. Titov Y.O., Belyavina N.M., Slobodyanik M.S., Chumak V.V. Krystalichna struktura izovalentnozamishchennykh sharuvatykh indativ $\text{Ba}_{1-x}\text{Sr}_x\text{La}_2\text{In}_2\text{O}_7$ [Crystal structure of isovalent substituted layered indates $\text{Ba}_{1-x}\text{Sr}_x\text{La}_2\text{In}_2\text{O}_7$]. *Dopovidi Natsionalnoi Akademii Nauk Ukrayny*, 2016, no. 6, pp. 95-102. (in Ukrainian).
14. Dashevskyi M., Boshko O., Nakonechna O., Belyavina N. Phase transformations in equiatomic Y-Cu powder mixture at mechanical milling. *Metallofizika i Noveishie Tekhnologii*, 2017, vol. 39, no. 4, pp. 541-552.
15. Titov Y.O., Belyavina N.M., Markiv V.Ya., Slobodyanik M.S., Krayevska Ya.A., Chumak V.V. Syntez ta krystalichna struktura sharuvatykh skandativ $\text{SrLn}_2\text{Sc}_2\text{O}_7$ [Synthesis and crystal structure of layer scandates $\text{SrLn}_2\text{Sc}_2\text{O}_7$]. *Dopovidi Natsionalnoi Akademii Nauk Ukrayny*, 2009, no. 3, pp. 155-161. (in Ukrainian).